

ATP 功能及固氮酶催化机理

姜 涌 明

(吉林大学化学系固氮组)

一、引言

固氮酶能够催化 N_2 及其它底物 (N_3^- 、 N_2O 、 C_2H_2 、 HCN 、 RCN 、 RNC 、 H^+ 、丙二烯、环丙烯) 的还原反应, ATP 水解反应以及 $Na_2S_2O_4$ 氧化反应。

固氮酶究竟是钼铁蛋白, 还是由钼铁蛋白和铁蛋白所组成的复合物? 现在尚无定论, 但是, 一般认为, 它是由钼铁蛋白和铁蛋白所组成的复合物。

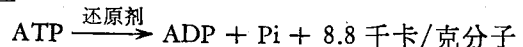
钼铁蛋白分子是由二个 α -亚基和二个 β -亚基所组成的四聚体, 分子量 220,000 左右, 含有四个 Fe_4S_4 原子簇^[2]和二个铁钼辅因子^[3]。铁钼辅因子的分子量小于 2000^[4], 含有 1Mo、6 ~ 8Fe、6S²⁻^[4,5]。其空间结构与功能尚未确定。各种实验表明, N_2 、 C_2H_2 、 CN^- 、 H^+ 和 Co 络合在钼铁蛋白上。由此推测, N_2 等可还原底物的络合还原中心位于钼铁蛋白上。铁钼辅因子可以络合 Co (Co 可以非竞争性地抑制除放 H_2 而外的一切底物的还原反应)^[5], 由此推测, 铁钼辅因子可能是 N_2 等底物的络合还原中心的存在部位。

铁蛋白分子是由二个相同亚基所组成的二聚体, 分子量 60,000 左右, 含有一个 Fe_4S_4 原子簇。ATP 活性中心(电子活化中心)究竟是在铁蛋白上, 还是分别在铁蛋白和钼铁蛋白上, 或者是为二者所共有? 现在尚无定论, 但是, 一般认为, 它是由铁蛋白和钼铁蛋白的有关部分共同构成的^[7,8]。其根据是: (1) 铁蛋白分子可以结合 MgATP; (2) 钼铁蛋白中铁钼辅因子上的自由 NH_2 基是 ATP 活性中心的必需基团^[8]; (3) 铁蛋白分子的活性 SH 基可能是 MgATP 的结合基团^[9]。

巴氏梭菌铁蛋白的一级结构已经弄清, 钼铁蛋白一级结构的研究已有较大的进展。二者的空间结构尚未弄清, 但最近美国已得到较大的钼铁蛋白结晶, 为开展 X 射线结构分析奠定了物质基础。

二、ATP 功能

固氮酶可以催化需还原剂的 ATP 水解反应



此反应与 $Na_2S_2O_4$ 氧化反应、 N_2 等底物还原反应是偶联的, 称之为有用的 ATP 水解反应。

固氮酶还可以催化不需还原剂的 ATP 水解反应。此反应与 $Na_2S_2O_4$ 氧化反应, N_2 等底物的还原反应不偶联, 称之为无用的 ATP 水解反应。

在固氮酶催化过程中, ATP 水解与电子转移是有关的^[10]。ATP/ $2e^-$ 比值随实验条件而变化, 但最小值是 4。当溶液 pH 为 5.6、6.0、8.0 时, 巴氏梭菌固氮酶的 ATP/ $2e^-$ 比值分别为 8.0、4.0、4.6, 当 pH = 5.2 时, 则变成不需还原剂的 ATP 水解。对棕色固氮菌固氮酶而言, 20°C 是转折点。当温度从 20°C 上升到 40°C 时, 则 ATP/ $2e^-$ 比值随之增大, 当温度从 20°C 下降到 10°C 时, 则 ATP/ $2e^-$ 比值亦随之增大, 当温度等于或低于 10°C 时, 只有 ATP 水解反应, 几乎没有 $Na_2S_2O_4$ 氧化反应 (电子转移)^[10]。就固氮酶二组分的比例而言, 随着钼铁蛋白的愈加过量, ATP/ $2e^-$ 比值可以增大到 ~20。肺炎克氏杆菌钼铁蛋白与巴氏梭菌铁蛋白的互补, 可以使 ATP/ $2e^-$ 比值增大到 ~50。

对于固氮酶的一切底物还原反应来讲,

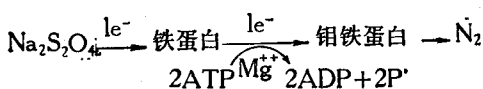
MgATP 是不可缺少的重要因素。MgADP 是固氮酶的生理抑制剂，能抑制固氮酶的各种活性。固氮酶活性的大小受 ADP/ATP 比例变化的调节。当 $ADP/ATP = 1/2$ 时，则固氮酶的活性完全受抑制。

固氮酶的一切底物还原反应为什么必须有 MgATP 的作用？MgADP 为什么能够抑制固氮酶的一切活性？这些问题现在虽然还没有完全解决，但是，近几年来已经取得了显著的进展。

MgATP 可以与铁蛋白相结合，使铁蛋白暴露游离 SH 基和 $Fe_{4}S_{4}$ 原子簇，增加铁蛋白对 O_2 的敏感性。这些实验现象表明：MgATP 可以使铁蛋白分子的构象发生变化。

MgATP 与铁蛋白相结合，使铁蛋白的还原电位从 -294mV 提高到 -400mV ^[14]。这是由于 MgATP 诱导铁蛋白构象变化的结果。

各种实验表明，从 $Na_2S_2O_4$ 到固氮酶的可还原底物，其电子转移顺序是：



停流实验揭示^[15]，从铁蛋白到钼铁蛋白的电子转移与 ATP 水解反应，二者的反应时间常数相同，反应速度常数相同。由此推测，从铁蛋白到钼铁蛋白的电子转移与 ATP 水解反应是直接偶联的。

ATP 水解反应没有延缓期，而底物还原反应有延缓期^[17]。这说明 ATP 水解反应与底物还原反应不直接偶联。

从铁蛋白到钼铁蛋白的电子转移离开了 MgATP 便不能进行^[12]，此电子转移的一级反应速度常数随 MgATP 浓度的增大而增大^[16]，每转移一个电子水解二个 ATP 分子^[16]。这些实验结果说明了，MgATP 推动从铁蛋白到钼铁蛋白的电子转移。

从铁蛋白到钼铁蛋白的电子转移为什么必须由 MgATP 来推动？

根据电化学原理，要使铁蛋白上的电子自动转移到钼铁蛋白上去，必须具备二个基本条件：一个是电路接通，另一个是铁蛋白的还原

电位必须高于钼铁蛋白的还原电位。我们认为，ATP 可能为上述电子转移创造这两个条件。这一设想有待于实验检验。

MgADP 与铁蛋白相结合，使铁蛋白分子发生限速构象变化，从而抑制 SO_2^- 还原氧化态铁蛋白的速度，抑制从铁蛋白到钼铁蛋白的电子转移，因此，MgADP 能抑制固氮酶的一切活性。

三、固氮酶催化机理

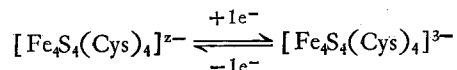
近年来，由于停流分光光度，莫斯鲍尔光谱以及顺磁共振等先进技术的应用，在固氮酶催化机理方面，已经取得了许多重要的进度。

用停流和快速冻结 EPR 法揭示：



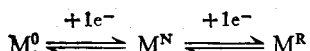
SO_2^- 是活性还原剂。氧化态铁蛋白从 SO_2^- 上接受一个电子，变成还原态，并出现 $g = 1.94$ 的 EPR 信号。在 MgATP 的诱导下，还原态铁蛋白向半还原态钼铁蛋白传递一个电子。

根据 EPR、莫斯鲍尔光谱以及电位法推测，电子转移与铁蛋白中的 $Fe_{4}S_{4}$ 原子簇有关，每个 $Fe_{4}S_{4}$ 原子簇传递一个电子。



铁蛋白分子有两个 MgATP 结合部位，能够结合二个 MgATP，其中有一个结合部位能够结合一个 MgADP。铁蛋白分子对二个 MgATP 结合的解离常数分别是 $430\mu M$ 和 $220\mu M$ ^[16]，由此推测，铁蛋白分子对二个 MgATP 的结合不是同时进行的。铁蛋白分子只有与二个 MgATP 结合之后，才能引起蛋白质分子的构象发生变化^[18]。在铁蛋白分子中，MgATP 结合部位与 $Fe_{4}S_{4}$ 原子簇有一定的距离^[8]。钼铁蛋白与铁蛋白的结合，不影响铁蛋白对 MgATP 的结合数量^[20]。

钼铁蛋白有三种氧化状态：氧化态；半还原态；还原态。其中，半还原态有 $g = 4.3, 3.6, 2.0$ 的 EPR 信号^[12]。钼铁蛋白的 EPR 信号来自铁钼辅因子^[5]。铁钼辅因子亦有相应的三种氧化状态^[19]：



M^0 : 氧化态，用劳氏紫氧化之后得到，无 EPR 信号； M^N : 在天然的（半还原态）钼铁蛋白中可以看到，有 $g = 4.3, 3.6, 2.0$ 的 EPR 信号； M^R : 在固氮条件下稳定态时可以看到，无 EPR 信号。

单独的半还原态钼铁蛋白不能结合 MgATP，不能接受 SO_2^- 的电子，但能在 MgATP 推动下从还原态铁蛋白上接受电子^[12]，不能还原 N_2 等可还原的底物，但能络合 C_2H_2 和 H^+ 等可还原的底物，还原态钼铁蛋白可以还原 N_2 等可还原的底物。

实验初步揭示：还原态铁蛋白或者还原态铁蛋白与 MgATP 的络合物，可以与钼铁蛋白结合成固氮酶复合物^[15, 20]。1:1 或 1:2 的钼铁蛋白与铁蛋白的复合物都是有活性的固氮酶复合物^[13]，在二组分之间发生电子转移之后，固氮酶复合物即发生解离^[17]。由表 1 可知，固氮酶复合物的解离可能是限速步骤。

表 1 在固氮酶反应过程中的速度常数^[1, 6, 13]

反 应 种 类	反 应 速 度 常 数
Ac_2Ox 被 SO_2^- 还原	$>10^8 M^{-1}s^{-1}$
MgATP 与 K_p2red 或 K_p1-K_p2 结合	$>2.5 \times 10^6 M^{-1}s^{-1}$
固氮酶复合物生成	$>10^7 M^{-1}s^{-1}$
二组分间的电子转移	$2.0 \times 10^2 s^{-1}$
从铁蛋白上释放 MgADP	$\sim 2.0 \times 10^2 s^{-1}$
固氮酶复合物的解离	$10 s^{-1}$

Ac_2Ox : 圆褐固氮菌氧化态铁蛋白； K_p2 : 肺炎克氏杆菌铁蛋白； K_p1 : 肺炎克氏杆菌钼铁蛋白。

二组分之间的电子转移与 ATP 水解直接偶联，每传递一个电子水解二个 ATP 分子^[16]。ATP 的水解产物——ADP，与固氮酶不生成长寿命的中间产物^[16]。ADP 从固氮酶分子上迅速解离下来^[1]。若 MgADP 与铁蛋白相结合，则可以抑制从铁蛋白到钼铁蛋白的电子转移^[1]，抑制氧化态铁蛋白从 SO_2^- 上接受电子。

底物还原反应与 ATP 水解反应不直接偶联^[17]。

根据上述一系列的实验结果，我们提出了

一个可能的固氮酶催化机理模式图，如图 1 所示：

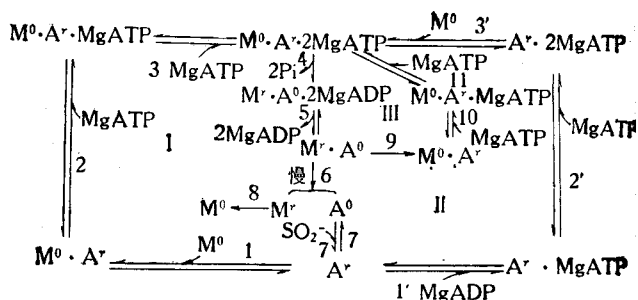


图 1 固氮酶催化机理模式图

M^0 : 氧化态钼铁蛋白，这里指半还原态钼铁蛋白，有 EPR 信号； M^1 : 还原态钼铁蛋白，无 EPR 信号； A^0 : 氧化态铁蛋白，无 EPR 信号； A^1 : 还原态铁蛋白，有 EPR 信号。

由图 1 可知， A^1 可以沿着二条途径到达 $M^0 \cdot A^1 \cdot 2MgATP$ 。一条是 1-2-3，即： A^1 与 M^0 以 1:1 分子比结合而成固氮酶复合物 ($M^0 \cdot A^1$)，此复合物先后与二个 MgATP 结合，最后生成 $M^0 \cdot A^1 \cdot 2MgATP$ 。另一条是 1'-2'-3'，即： A^1 首先与一个 MgATP 结合而成 $A^1 \cdot MgATP$ ，再结合一个 MgATP，生成 $A^1 \cdot 2MgATP$ ，然后， $A^1 \cdot 2MgATP$ 与 M^0 以 1:1 分子比结合而成 $M^0 \cdot A^1 \cdot 2MgATP$ 。反应 4 表示：二个 ATP 分子发生水解反应，同时，在 ATP 的推动下， A^1 上的一个电子转移到 M^0 上。反应 5 表示：结合在固氮酶铁蛋白分子上的二个 MgADP 从铁蛋白上解离下来。反应 6 表示：固氮酶复合物 ($M^1 \cdot A^0$) 发生解离。反应 7 表示：自由的氧化态铁蛋白 (A^0) 从 SO_2^- 上接受一个电子。反应 8 表示：还原态钼铁蛋白 (M^1) 传递一个电子给络合在底物络合还原中心上的底物分子。

总之，由 ATP 推动的电子转移可以按照第 I 循环 (1-2-3-4-5-6-7-1) 和第 II 循环 (1'-2'-3'-4-5-6-7-1') 进行。每循环一次向底物分子传递一个电子。电子转移的通路可能是：从铁蛋白的 Fe_4S_4 原子簇传递到钼铁蛋白的 Fe_4S_4 原子簇，然后，传递到深藏在疏水环境中的铁钼辅因子，最后，到达络合在底物络合还原中心上的底物分子。

反应 9 表示：在异常的实验条件下（如：钼铁蛋白过量，杂交固氮酶、温度过高或过低，pH 过大或过小），还原态钼铁蛋白 (M^r) 的一个电子倒流入氧化态铁蛋白 (A^0)，结果产生了第 III 循环 (2-3-4-5-9-2)。在第 III 循环中，一个电子在固氮酶二组分之间来回传递，并未用于底物还原反应，也未消耗 $Na_2S_2O_4$ ，但是，每循环一次却白白消耗了二个 ATP 分子。这可能就是不需还原剂 ATP 水解反应（无用 ATP 水解反应）的机制。在异常的实验条件下， $ATP/2e^-$ 比值之所以大于 4，可能就是因为异常条件增加了第 III 循环的机率。

在上述所有的反应中，反应 6 进行最慢，可能是速度限制步骤。

这一模式图不仅完全符合上述各种实验结果，而且还能圆满地解释固氮酶反应中的 EPR 信号随 ATP 和 $Na_2S_2O_4$ 的相对用量而改变的实验现象。

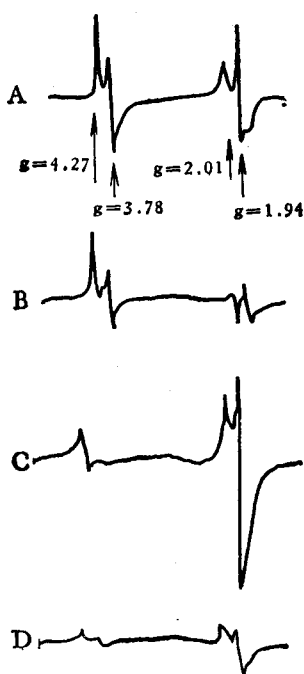


图 2 $S_2O_4^{2-}$ 和 ATP 的相对用量对固氮酶二组分 EPR 信号的影响^[12]

当 $M:A = 1:2$ (分子比)，ATP 和 $S_2O_4^{2-}$ 都足够时，由于在第 I 和第 II 循环中，其它的反应都很快，只有反应 6 进行最慢，因此，有 $M^r \cdot A^0$ 的积累。 M^r 和 A^0 均无 EPR 信号，如图 2-D 所示。当 $M:A = 1:14$ (分子比)，而 ATP 和 $S_2O_4^{2-}$ 都足够时，由于上述同样的原因，故有 $M^r \cdot A^0$ 的积累。 M^r 和 A^0 均无 EPR 信号。但是，由于水溶液中 $M:A = 1:14$ ，而活性固氮酶中 $M:A = 1:1$ 或 $1:2$ ，因此，水溶液中除有无 EPR 的 $M^r \cdot A^0$ 而外，还有多余的游离的 A^r 和 $A^r \cdot 2MgATP$ ，即有还原态铁蛋白的 EPR 信号（图 2-C）。

当 ATP 足够而 $S_2O_4^{2-}$ 耗尽时，反应 7 不能进行，于是有 A^0 的积累，反应 8 能进行，得到 M^0 ，因而只出现 M^0 的 EPR 信号（图 2-B）。

当 $S_2O_4^{2-}$ 足够而 ATP 耗尽时，1'、2'、2、3 四个反应均不能进行，反应 1 能进行，结果有 $M^0 \cdot A^r$ 的积累，因而出现了 M^0 和 A^r 的 EPR 信号（图 2-A）。

四、对今后固氮酶催化机理研究的几点初步意见

固氮酶催化机理是一个非常复杂的问题，现在，虽然已经取得了许多重要的进展，但是，离开问题的圆满解决还有很大的距离。我们认为，需要在下列几个方面作进一步的研究：

1. 固氮酶究竟是钼铁蛋白？还是由钼铁蛋白和铁蛋白所组成的复合物？在固氮过程中，钼铁蛋白与铁蛋白之间存在着那些相互作用？二者是结合成瞬间复合物？还是结合成长寿命的复合物？二者是否存在相互变构相互调节的作用？

2. 底物络合还原中心是否位于钼铁蛋白的铁钼辅因子上？其结构如何？ M_0 和 Fe 原子在 N_2 等可还原底物分子的络合、还原、加氢过程中各起什么作用？ N_2 等可还原的底物分子在此中心上是如何被络合、活化和还原、加氢的？

3. ATP 活性中心是位于铁蛋白上？还是分别位于铁蛋白和钼铁蛋白上？或者是由二者所共有？其结构如何？在此中心上，ATP 是如

何被络合，水解的？其水解产物——ADP 是否立即被释放？如何被释放？

4. 在固氮酶催化过程中，ATP 究竟起哪些作用？ATP 水解所释放的自由能是否用来进一步提高铁蛋白的还原电位？是否用来提高钼铁蛋白底物络合还原中心的还原电位？

5. 在固氮酶复合物中，从电子供体 ($\text{Na}_2\text{S}_2\text{O}_4$) 到被底物络合还原中心络合的 N_2 之间，是否存在一条或多条电子转移通路？此通路是否主要是由铁蛋白的 Fe_4S_4 原子簇和钼铁蛋白的 Fe_4S_4 原子簇和铁钼辅因子所构成的？

6. 在固氮酶中所发生的一连串的反应步骤中，限速步骤是那一步？是否就是固氮酶复合物的解离？

7. ATP 水解与放 H_2 、 N_2 还原三种反应在固氮酶中存在着那些关系？

8. 在各种物理、化学因素的作用下，固氮酶的构象与活性有那些相应的变化规律？

9. 钼铁蛋白的一级结构以及钼铁蛋白和铁蛋白的空间结构如何？

我们相信，上述问题的进一步研究，必将有助于进一步阐明固氮酶催化机理。

参 考 文 献

- [1] Thorneley, R. N. F., et al.: *Biochem. J.*, **165**, 255, 1977.
- [2] Kurtz, D. M. et al.: *Proc. Natl. Acad. Sci. U.S.A.*, **76**, 4986, 1979.

(上接第 43 页)

验证明了这个结论。

感谢张洪钧同志与郑从英同志对这一工作的关心和支持。

参 考 文 献

- [1] 汪云九：《生物化学与生物物理学进展》1975 年，第 4 期，第 60 页。
- [2] Barlow, H. B. et al.: *Science*, **177**(4049), 567, 1972.
- [3] 汪云九：《生物化学与生物物理学报》，1979 年，第 10 卷，第 1 期，第 1 页。

- [3] Zimmermann, R., et al.: *Biochim. Biophys. Acta*, **537**, 185, 1978.
- [4] 吉林大学化学系固氮组，《吉林大学学报》，1978 年，第 4 期，73 页。
- [5] Rawlings, J. et al.: *J. Biol. Chem.*, **253**, 1001, 1978.
- [6] Mortenson, L. E., et al.: *Ann. Rev. Biochem.*, **48**, 387, 1979.
- [7] Stiefel, E. I., *Recent Development in Nitrogen Fixation* (Newton, W. E., et al.: ed.) pp. 69, Academic Press, London 1977.
- [8] Митова, И. З., и т. д., Докл. АН СССР, **251**, 494, 1980.
- [9] 尤崇均等，《植物生理学报》1978 年，第 4 期，123 页。
- [10] Watt, G. D., et al., *Biochemistry*, **16**, 264, 1977.
- [11] Orme-Johnson, W. H., et al., *Recent Development in Nitrogen Fixation* (Postgate, J. R. et al. ed.) pp 131, Academic Press, London, 1977.
- [12] Mortenson, L. E. et al.: *Biochim. Biophys. Acta*, **292**, 422, 1973.
- [13] Hageman, R. V., et al.: *Biochemistry*, **17**, 4117, 1978.
- [14] Zumft, W. G. et al., *Eur. J. Biochem.*, **46**, 525, 1974.
- [15] Thorneley, R. N. F.: *Biochem. J.*, **145**, 391, 1975.
- [16] Hageman, R. V. et al.: *Biochemistry*, **19**, 2333, 1980.
- [17] Hageman, R. V., et al.: *Proc. Natl. Acad. Sci. U.S.A.*, **75**, 2699, 1978.
- [18] Walker, G. A., et al.: *Biochemistry*, **13**, 2382, 1974.
- [19] Huynh, B. H., et al.: *Biochim. Biophys. Acta*, **527**, 192, 1979.
- [20] Emerich, D. W., et al.: *Biochim. Biophys. Acta*, **527**, 359, 1979.

[本文于 1980 年 12 月 10 日收到]

- [4] Spiegler, G. et al.: *Photo. Korr.*, **67**, 4, 1931. *ibid*, **69**, 36, 1933.
- [5] Yule, J. A. C.: *Photo. Jour.*, **84B**, 321, 1944.
- [6] Schreiber, W. F.: *Pattern Recognition*, **2**(2), 117, 1970.
- [7] Levit, L.: *Computer Graphics and Image Processing*, **3**, 163, 1974.
- [8] Levit, L.: *Applications of Holography and Optical Data Processing*, 73, 1977 Pergamon Press.
- [9] Armitage, J. D. et al.: *Appl. Opt.*, **4**(4), 445, 1965.

[本文于 1980 年 12 月 27 日收到]